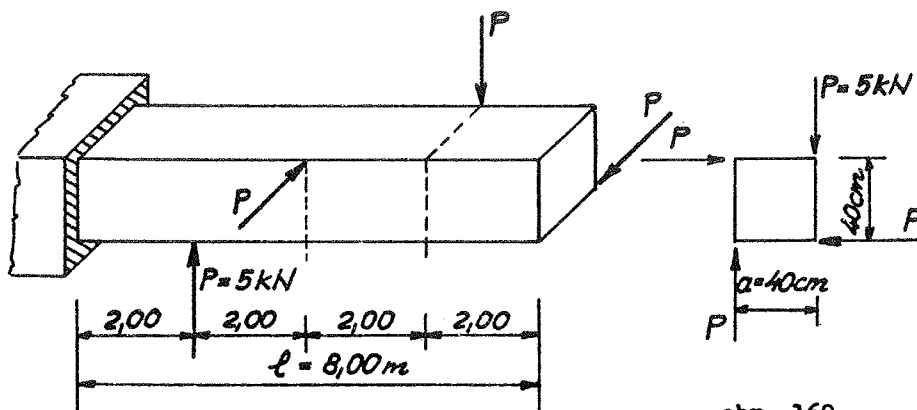


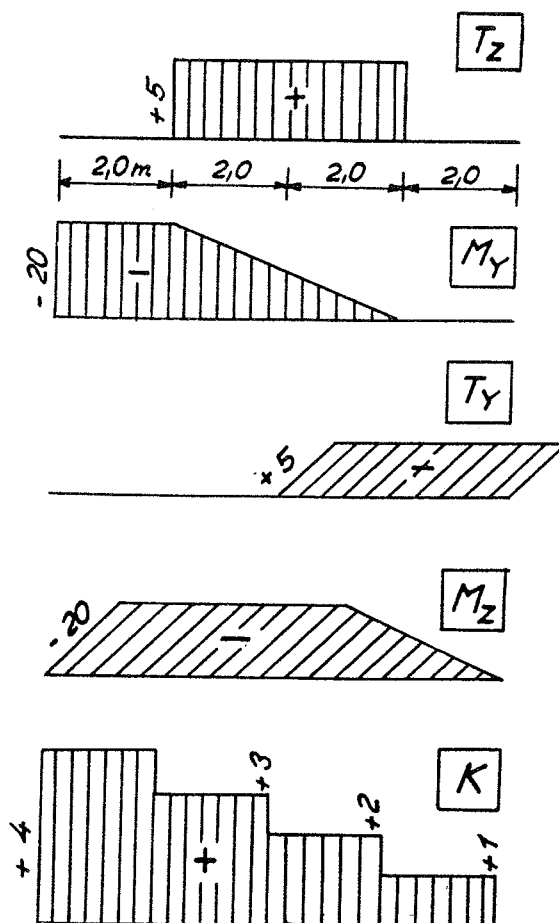
Příklad 111

Konzolový nosník je zatížen stejně velikými silami  $P = 5\text{ kN}$  podle obr. 169. Určit průběhy posouvajících sil, ohybových a krouticích momentů.



obr. 169

Průběh posouvajících sil, ohybových a krouticích momentů je znázorněn na obr. 369.



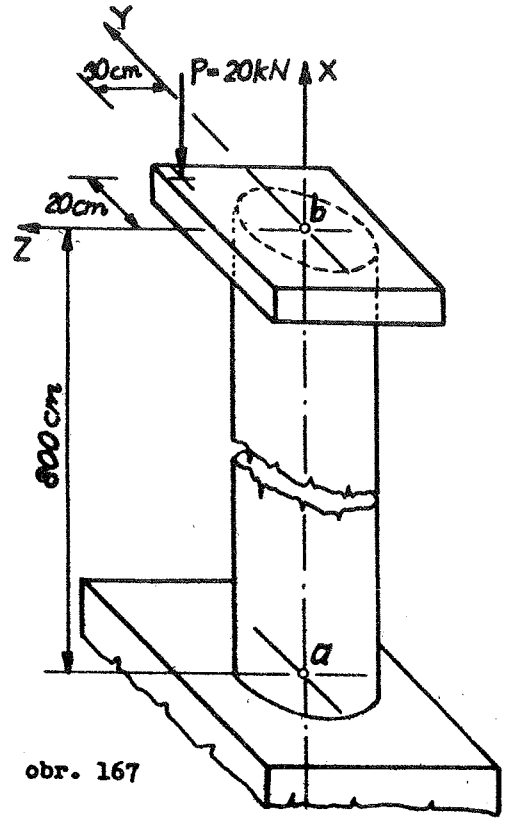
obr. 369

Příklad 110

Sloup je zatížen mimořádným zatížením podle obr. 167, na svém spodním konci je vetknutý, na horním konci je volný, vlastní tíha na 1bm  $g=0,400\text{ kN/m}$ . Určit průběh normální síly, posouvajících sil a momentů.

Řešení:

Mysleme si pravotočivý pravouhlý prostorový osový systém orientován tak, že osa  $X$  je ve svislé ose sloupu. Z hlediska pozorovatele stojícího v rovině  $XZ$  ve směru osy  $Z$  jeví se konstrukce jako vodorovný prut na levém konci vetknutý, na pravém volný, zatížení na volném konci mimořádně silou  $P$  rovnoběžnou s osou prutu, viz obr. 168a.



obr. 167

Zatížení  $P$  přemístíme do osy prutu  $X$ , což je doprovázeno dvěma vnějšími statickými momenty, a to k osám  $Y, Z$ :

$$M_Y = +P \cdot e_z = +20 \cdot 0,3 = +6 \text{ kNm},$$

$$M_Z = +P \cdot e_y = +20 \cdot 0,2 = +4 \text{ kNm}.$$

Na prut nepůsobí ani příčné ani skrécující zatížení, proto jsou posouvající síly a kroutící momenty ve všech průřezech nulové:

$$T_Y = T_Z = 0, \quad K = 0.$$

Normální síla  $N$  nabývá hodnot:

$$N_b = -P = -20 \text{ kN},$$

$$N_a = -P - g \cdot l = -20 - 0,4 \cdot 8,0 = -23,2 \text{ kN}.$$

Ohybové momenty jsou konstantní po celé délce prutu:

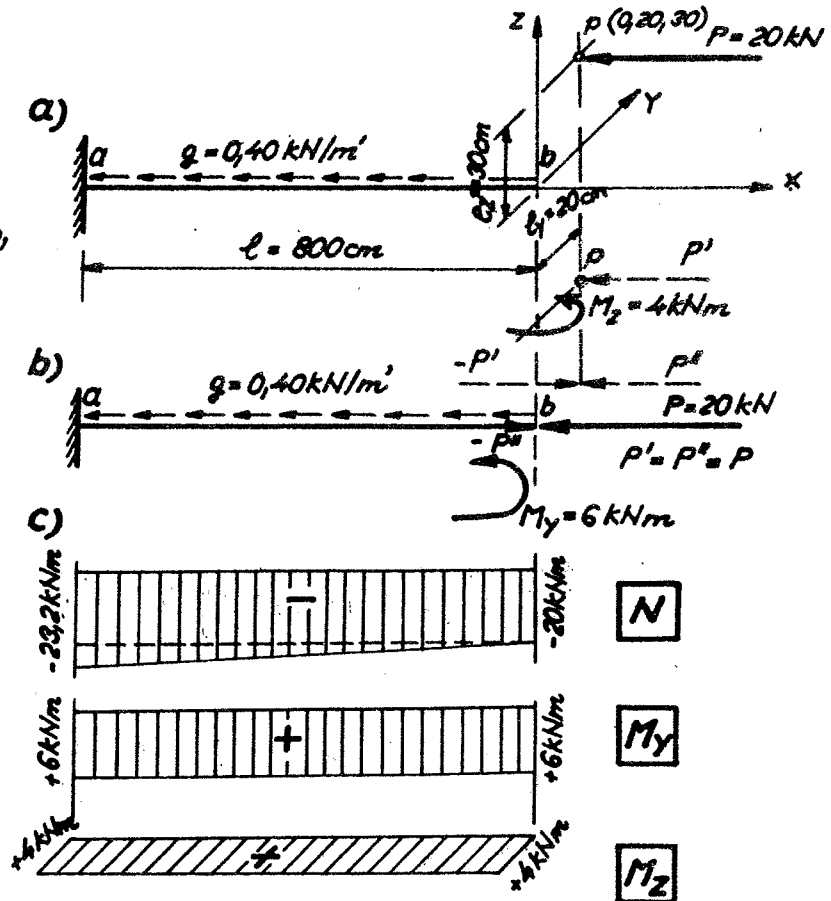
$$M_Y = +6 \text{ kNm}, \quad M_Z = +4 \text{ kNm}.$$

Průběh složek  $N, M_Y, M_Z$  je zobrazen na obr. 168c.

Složky reakce ve vetknutí  $a$ :

$$A_X = +23,2 \text{ kN}, \quad A_Y = A_Z = 0,$$

$$M_X = 0, \quad M_Y = +6 \text{ kNm}, \quad M_Z = +4 \text{ kNm}.$$



obr. 168

**Příklad 108:** Konsolový nosník obdélníkového průřezu je zatížen částečně rovnoměrným svislým zatížením  $q_z$  a vodorovnou silou  $P_y$  podle obr. 163 a.

**Řešení:**

Zatížení částečně rovnoměrné  $q_z$  na délce  $d$  a osamělé břemeno  $P_y$  přemístíme do osy prutu, obr. 163 b, t.j. ke zatížení silové, jež působí v ose prutu podle obr. 163 c, musíme doplnit zatížení momentovými příčnými podle obr. 163 d, t.j. částečně rovnoměrné krouticí zatížení o intenzitě  $k = q_z \cdot \frac{b}{2}$  na délce  $d$  a vnější krouticí moment na volném konci  $B$ .  $K_B = P_y \cdot \frac{b}{2}$

Přímý prut je na konci  $A$  dokonale vetknut, konec  $B$  je volný, a proto můžeme sečítat účinky od tohoto volného konce, aniž bychom řadili předem reakce ve vetknutí, které obdržíme jako poslední hodnoty složek výslednice vnitřních sil na levé straně nosníku.

Normální síla je v každém průřezu nulová,  $N=0$ , protože na nosník nepůsobí zatížení ve směru jeho osy.

Působením částečně rovnoměrného zatížení  $q_z$  v rovině svislé  $XZ$  vznikají posouvající síly  $T_z$  a ohybové momenty  $M_y$ , které se určí známým způsobem, viz kap. 1. tohoto skriptu. V průřezech napravo od zatížení  $q_z$  je  $T_z=0$ ,  $M_y=0$ . V průřezech  $i$  v intervalu  $c \leq x \leq (c+d)$  je

$$T_{iz} = q_z \cdot (c+d-x), \quad M_y = -\frac{1}{2} q_z (c+d-x)^2$$

V části vlevo od zatížení až do vetknutí v konci  $A$  je

$$T_{iz} = q_z d, \quad M_y \text{ mění se lineárně od } -\frac{1}{2} q_z d^2 \text{ do } -q_z d(c+\frac{d}{2}) = M_{Ay}$$

Působením síly  $P_y$  ve směru osy  $Y$  na volném konci  $B$  v rovině vodorovné  $XY$  vznikají posouvající síly  $T_y$  a ohybové momenty  $M_z$ , které určíme známým způsobem podle kap. 1. tohoto skriptu, budeme-li přihlížet současně ke známkové konvenci podle obr. 160d. V obecném průřezu  $i$ ,  $0 \leq x \leq l$ , určíme  $T_{iy}$  a  $M_{iz}$  podle obr. 164.

Ve vetknutí jsou hodnoty  $T_{Ay} = -P_y$ ,  $M_{Az} = +P_y \cdot l$ .

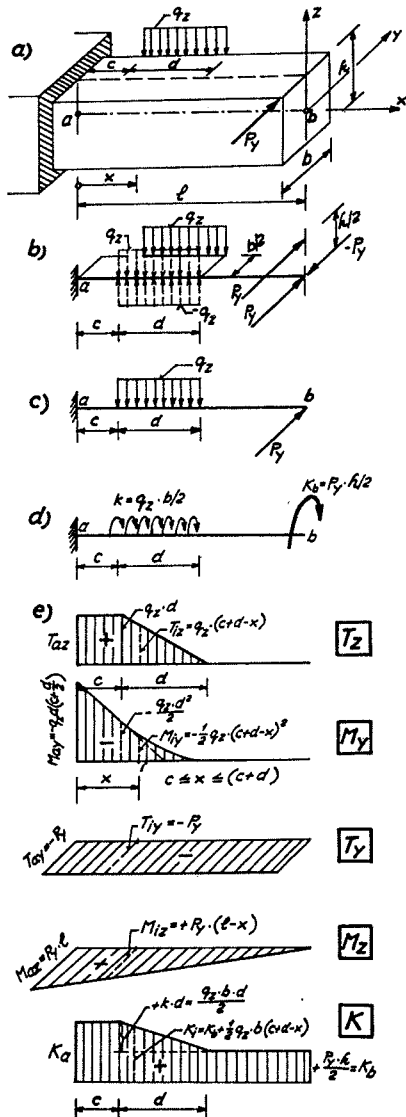
Krouticí momenty vznikají v průřezech konsoly v důsledku nímstředně působícího zatížení, viz obr. 163 b a v is dále satřikovaci schéma vnější krouticího zatížení na obr. 163 d. Vzhledem k rovnicím (3.3.4) a (3.3.5) určíme na konsole krouticí moment v průřezu obdobně jako posouvající sílu, t.j. budeme sečítat vnější krouticí zatížení od volného konce po uvažovaný průřez, viz obr. 165.

Obrascce  $T_z$ ,  $M_y$ ,  $T_y$ ,  $M_z$  a  $K$  jsou vyneseny na obr. 163 e. Pro větší názornost jsou kresleny obrascce posouvajících sil a ohybových momentů v rovině ohybu, k ně se vztahují, t.j.  $T_z$ ,  $M_y$  v rovině  $XZ$ ,  $T_y$ ,  $M_z$  v rovině  $XY$ .

Kontrolou správnosti zjištěných průběhů složek  $T_z$ ,  $M_y$ ,  $T_y$ ,  $M_z$  a  $K$  může být prověrka, jak jsou plněny diferenciální podmínky (3.3.1) až (3.3.5). Např. pro krouticí moment:

$$\frac{dK_i}{dx} = \frac{d[\frac{1}{2} P_y \cdot k + k(c+d-x)]}{dx}$$

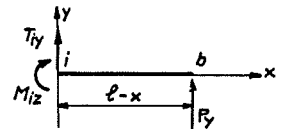
$$\frac{dK_i}{dx} = -k$$



obr. 163

Reakce konsoly v teoretickém bodě vetknutí  $A$  má složky  $A_x$ ,  $A_y$ ,  $A_z$ ,  $M_x$ ,  $M_y$ ,  $M_z$ , které jsou rovny se do velikosti vnitřním silám; zachováme-li pro ně známkovou konvenci jako pro složky v řezu prutu, mají i stejná znaménka:

$$\begin{aligned} A_x &= N_A = 0, \\ A_y &= T_{Ay} = -P_y, \\ A_z &= T_{Az} = +q_z \cdot d, \\ M_x &= K_A = +\frac{1}{2} P_y \cdot k + \frac{1}{2} q_z \cdot b \cdot d, \\ M_y &= M_{Ay} = -q_z d(c+\frac{d}{2}), \\ M_z &= M_{Az} = +P_y \cdot l. \end{aligned}$$



$$\begin{aligned} T_{iy} + P_y &= 0 \\ T_{iy} &= -P_y \end{aligned}$$

$$\begin{aligned} M_{iz} - P_y \cdot (l-x) &= 0 \\ M_{iz} &= +P_y \cdot (l-x) \end{aligned}$$

obr. 164

$$\begin{aligned} M_{iz} - P_y \cdot (l-x) &= 0 \\ M_{iz} &= +P_y \cdot (l-x) \end{aligned}$$

$$\begin{aligned} K_i - k \cdot (c+d-x) - K_B &= 0; \\ K_i &= K_B + k \cdot (c+d-x); \\ K_i &= \frac{1}{2} P_y \cdot k + \frac{1}{2} q_z \cdot b \cdot (c+d-x) \\ P_0 \cdot x &= c \\ K_C &= \frac{1}{2} P_y \cdot k + \frac{1}{2} q_z \cdot b \cdot d \\ P_0 \cdot x &= 0; \quad K_A = K_C \end{aligned}$$

obr. 165

$$\begin{aligned} K_i - k \cdot (c+d-x) - K_B &= 0; \\ K_i &= K_B + k \cdot (c+d-x); \\ K_i &= \frac{1}{2} P_y \cdot k + \frac{1}{2} q_z \cdot b \cdot (c+d-x) \\ P_0 \cdot x &= c \\ K_C &= \frac{1}{2} P_y \cdot k + \frac{1}{2} q_z \cdot b \cdot d \\ P_0 \cdot x &= 0; \quad K_A = K_C \end{aligned}$$

### Příklad 15.1

Průběh složek vnitřních sil na přímém vodorovném konzolovém nosníku obdélníkového průřezu pro prostorové zatížení  $F_1 = F_3 = 1 \text{ kN}$ ,  $F_2 = 2 \text{ kN}$ ,  $F_4 = 1,5 \text{ kN}$ ,  $F_5 = 2,6 \text{ kN}$ ,  $q = 2 \text{ kNm}^{-1}$ ,  $\varphi = 30^\circ$ ,  $M_{d,x} = 1 \text{ kNm}$  (obr. 15.4a).

**Řešení**

Spojité rovnoměrné šikmé zatížení  $q$  rozložíme do dvou pravoúhlých složek  $q_y$ ,  $q_z$  rovnoběžných s osami  $y$ ,  $z$

$$q_y = q \cos \varphi = 2 \cdot \cos 30^\circ = 1,73 \text{ kNm}^{-1}, \quad q_z = q \sin \varphi = 2 \cdot \sin 30^\circ = 1,0 \text{ kNm}^{-1}.$$

Posuneme-li rovnoběžně osamělá břemena  $F_1, F_2, \dots, F_5$  a spojitá rovnoměrná zatížení  $q_y, q_z$  tak, aby procházela střednicí nosníku, musíme doplnit jejich účinek momentovým zatížením:

$$F_1: M_{1,y} = F_1 \cdot \frac{h}{2} = 1 \cdot 0,4 = 0,4 \text{ kNm}, \quad M_{1,z} = -F_1 \cdot \frac{d}{2} = -1 \cdot 0,2 = -0,2 \text{ kNm},$$

$$F_2: M_{2,x} = -F_2 \cdot \frac{h}{2} = -2 \cdot 0,4 = -0,8 \text{ kNm},$$

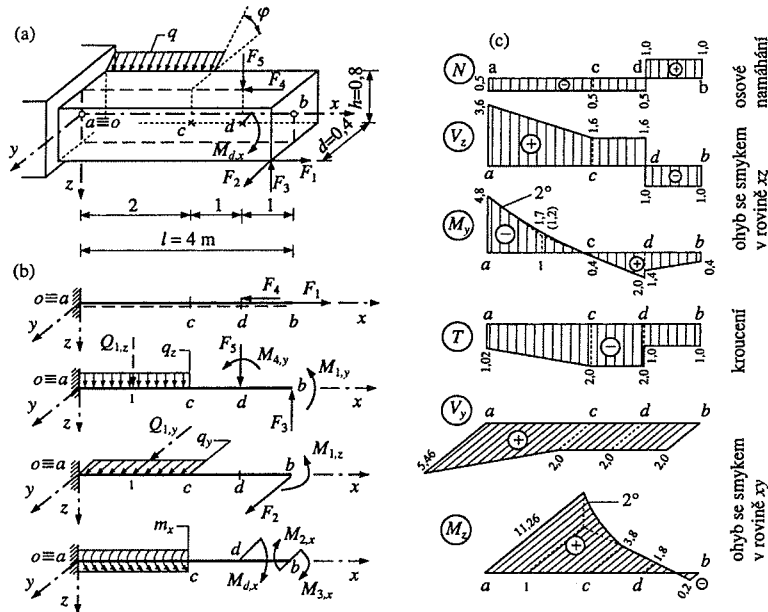
$$F_3: M_{3,x} = -F_3 \cdot \frac{d}{2} = -1 \cdot 0,2 = -0,2 \text{ kNm},$$

$$F_4: M_{4,y} = F_4 \cdot \frac{h}{2} = 1,5 \cdot 0,4 = 0,6 \text{ kNm}.$$

V případě částečných rovnoměrných spojitých zatížení  $q_y, q_z$  připojíme dvě rovnoměrná zkrucující momentová zatížení o výsledné intenzitě

$$m_x = q_y \cdot \frac{h}{2} - q_z \cdot \frac{d}{2} = 1,73 \cdot 0,4 - 1 \cdot 0,2 = 0,49 \text{ kNm} \cdot \text{m}^{-1}.$$

Statické schéma zatížení v ose  $x$ , v rovinách  $xz$  a  $xy$  a zkrucujícího momentového zatížení k ose nosníku je uvedeno na obr. 15.4b.



Obr. 15.4. Konzolový vodorovný nosník s prostorovým zatížením

U konzolového nosníku řešíme složky vnitřních sil postupem z volného konce (v našem případě zprava) a nepotřebujeme předem znát složky reakce vetknutí  $a$ .

Průběhy  $N, V_z, M_y$ , nakreslené na prvních třech diagramech v obr. 15.4c, od zatížení působícího ve svislé rovině  $xz$ , určujeme stejným postupem jako u rovinně namáhaného nosníku (viz odstavec 11.4.5) a uvádíme je bez výpočtu.

Silové a momentové zatížení, působící ve vodorovné rovině  $xy$  nosníku, vyvolává složky vnitřních sil  $V_y, M_z$ , jejichž průběhy jsou nakresleny na pátém a šestém diagramu v obr. 15.4c z hodnot

$$V_{b,y} = V_{c,y} = F_2 = 2 \text{ kN}, \quad V_{a,y} = F_2 + q_y \cdot 2 = 2 + 1,73 \cdot 2 = 5,46 \text{ kN},$$

$$M_{b,z} = -M_{1,z} = -0,2 \text{ kNm}, \quad M_{d,z} = F_2 \cdot 1 - M_{1,z} = 2 \cdot 1 - 0,2 = 1,8 \text{ kNm},$$

$$M_{c,z} = F_2 \cdot 2 - M_{1,z} = 2 \cdot 2 - 0,2 = 3,8 \text{ kNm},$$

$$M_{a,z} = F_2 \cdot 4 - M_{1,z} - Q_{1,y} \cdot 1 = 2 \cdot 4 - 0,2 + 1,73 \cdot 2 \cdot 1 = 11,26 \text{ kNm}.$$

Zkrucující momentové zatížení na obr. 15.4b vyvolává kroutící momenty  $T = M_x$ , jejichž průběh na nosníku je nakreslen na obr. 15.4c z hodnot

$$T_{bd} = M_{b,x} = M_{2,x} + M_{3,x} = -0,8 - 0,2 = -1,0 \text{ kNm} = T_{db},$$

$$T_{dc} = T_{db} + M_{d,x} = -1,0 - 1,0 = -2,0 \text{ kNm} = T_{cd} = T_{ca},$$

$$T_{ac} = T_{ca} + m_x \cdot 2 = -2,0 + 0,49 \cdot 2 = -1,02 \text{ kNm}.$$

Zápis označení složek vnitřních sil, např. v průřezu  $b$  nosníku, je možný též ve tvaru:  $N_{x,b}, V_{y,b}, V_{z,b}, M_{y,b}, M_{z,b}, T_b = M_{x,b}$ .

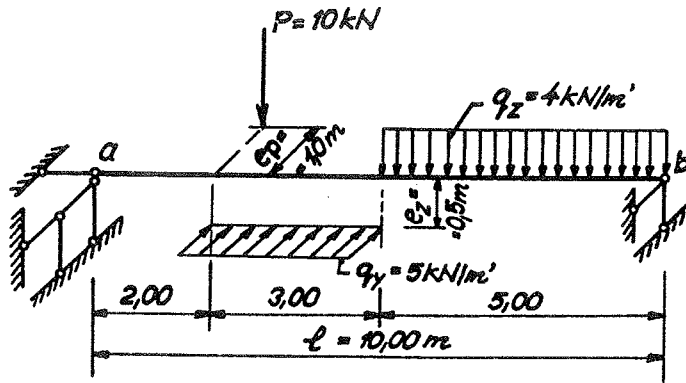
Z hodnot složek vnitřních sil v průřezu  $a$  konzolového nosníku (obr. 15.4c) lze stanovit velikosti složek reakcí dokonalého vetknutí  $a$ :

$$R_{ax} = 0,5 \text{ kN} (\rightarrow), \quad R_{ay} = 5,46 \text{ kN} (\nearrow), \quad R_{az} = 3,6 \text{ kN} (\uparrow),$$

$$M_{ax} = 1,02 \text{ kNm} (\Rightarrow), \quad M_{ay} = 4,8 \text{ kNm} (\searrow), \quad M_{az} = 11,26 \text{ kNm} (\nearrow).$$

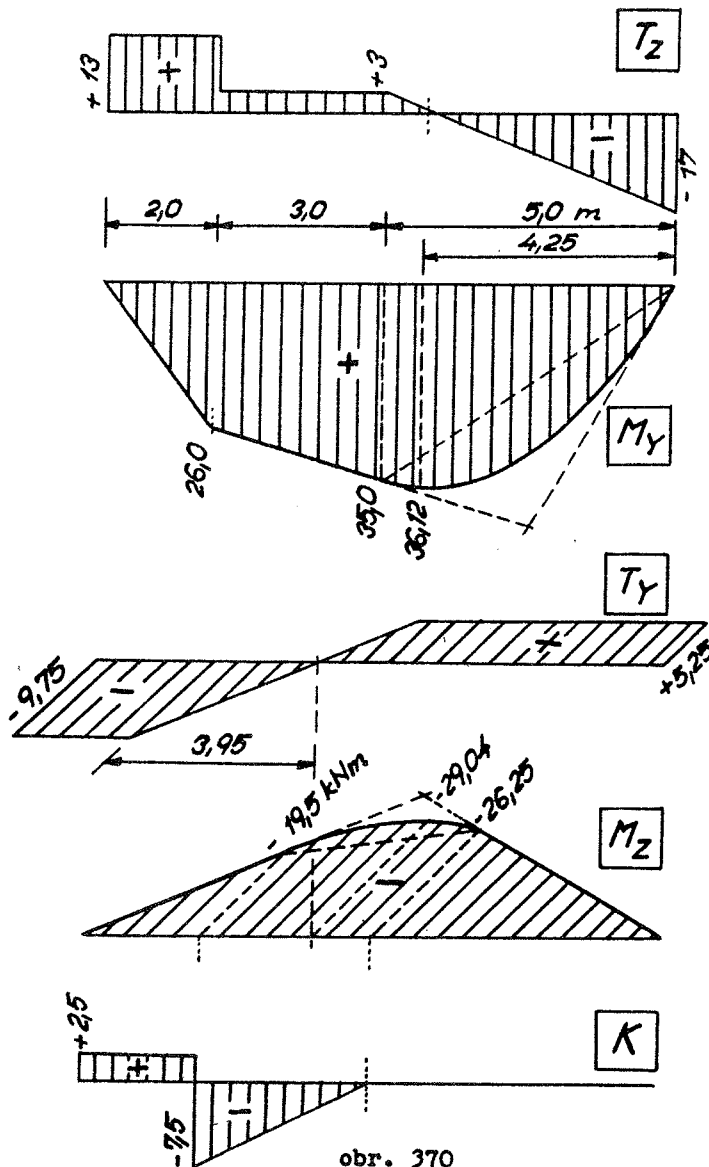
Příklad 112

Určit průběhy složek  $N$ ,  $T_y$ ,  $T_z$ ,  $K$ ,  $M_y$ ,  $M_z$  na prímém prutu  $\overline{ab}$ , jenž je prostorově staticky určitě podepřený a zatížený podle obr. 170.



obr. 170

Průběh vnitřních složek je vyznačen na obr. 370.



obr. 370

**Příklad 109**

Přímý prut staticky určitě podepřený v prostoru je zatížen prostorově podle obr. 166a. Na jeho konci  $a$  je vazba pětinašobná (neposuvný válcový kloub), na konci  $b$  je kyvný prut ve směru osy  $Y$ . Částečné rovnoměrné zatížení svislé  $q_z$  působí mimostředně k ose prutu, osmělé zatížení  $P_1$  působí ve směru osy  $Y$  mimostředně k ose prutu, osmělé zatížení  $P_2$  působí ve svislé rovině  $XZ$  šikmo k ose prutu.

**Řešení:**

Neznámé složky reakcí vazeb  $A_x, A_y, A_z, M_x, M_y$  v podepření na konci  $a, B_y$  v podepření na konci  $b$ , určíme ze šesti podmínek rovnováhy v prostoru přímo, nebo je podle principu superpozice určíme z dílčích zatěžovacích stavů podle obr. 166b,c,d:

$$\begin{aligned} A_x &= P_2 \cdot \cos \alpha_2, \\ A_y &= -P_1 \cdot \frac{l-p_1}{l}, \\ A_z &= +P_2 \cdot \sin \alpha_2 + q_z \cdot d, \\ B_y &= -P_1 \cdot \frac{p_1}{l}, \\ M_y &= -P_2 \cdot \sin \alpha_2 \cdot p_2 - q_z \cdot d \cdot \left(m + \frac{d}{2}\right), \\ M_x &= +q_z \cdot e_2 \cdot d - P_1 \cdot e_1. \end{aligned}$$

Průběh normální síly  $N$  a složek ohybu  $T_z, M_y$  v rovině  $XZ$  určíme podle zatěžovacího schématu na obr. 166b, prut  $ab$  uvažuje se jako konsola, vetknutá na konci  $a$ .

Normální síla  $N$  má v intervalu  $0 \leq x \leq p_2$  konstantní hodnotu

$$N = -P_2 \cdot \cos \alpha_2$$

Posouvající síla  $T_z$  nabývá hodnot:

$$\begin{aligned} T_z &= +P_2 \cdot \sin \alpha_2, \\ T_{ez} &= +P_2 \cdot \sin \alpha_2, \\ T_{dz} &= +P_2 \cdot \sin \alpha_2 + q_z \cdot d, \\ T_{az} &= +P_2 \cdot \sin \alpha_2 + q_z \cdot d. \end{aligned}$$

Ohybový moment  $M_y$  nabývá hodnot:

$$\begin{aligned} M_{fy} &= 0, \\ M_{ey} &= -P_2 \cdot \sin \alpha_2 \cdot s, \\ M_{dy} &= -P_2 \cdot \sin \alpha_2 \cdot (s+d) - \frac{1}{2} q_z \cdot d^2, \\ M_{ay} &= -P_2 \cdot \sin \alpha_2 \cdot p_2 - q_z \cdot d \cdot \left(c + \frac{d}{2}\right). \end{aligned}$$

Složky ohybu  $T_y, M_z$  v rovině vodorovné  $XY$  určíme podle zatěžovacího schématu na obr. 166c, prut  $ab$  uvažuje se v této rovině jako nosník prostý.

Posouvající síla  $T_y$  nabývá hodnot:

$$\begin{aligned} \text{v úseku } \overline{ac}: T_{ay} &= A_y = -P_1 \cdot \frac{l-p_1}{l}, \\ \text{v úseku } \overline{cb}: T_{by} &= -B_y = +P_1 \cdot \frac{p_1}{l}. \end{aligned}$$

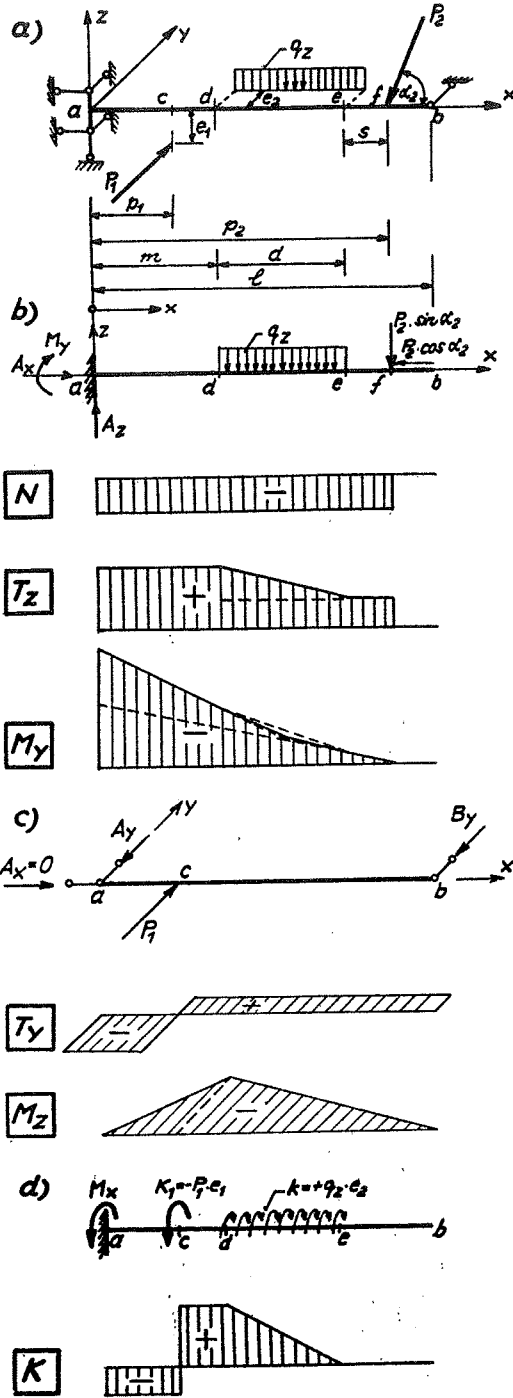
Ohybový moment  $M_z$  nabývá hodnot:

$$\begin{aligned} M_{az} &= M_{bz} = 0, \\ M_{cz} &= A_y \cdot p_1 = -P_1 \cdot \frac{p_1(l-p_1)}{l}. \end{aligned}$$

Prut je skrucován důsledkem mimostředního zatížení  $P_1$  a  $q_z$  vzhledem k ose prutu. Průběh krouticího momentu  $K$  na prutu  $ab$  určíme podle zatěžovacího schématu vnější krouticího zatížení podle obr. 166d, kde  $K_1 = -P_1 \cdot e_1, k = +q_z \cdot e_2$  na délce  $d$ . Krouticí moment  $K$  nabývá hodnot:

$$\begin{aligned} K_b &= K_e = 0, \quad K_d = +k \cdot d = +q_z \cdot e_2 \cdot d, \\ K_c &= K_d + K_1 = +q_z \cdot e_2 \cdot d - P_1 \cdot e_1, \quad K_a = K_c = +q_z \cdot e_2 \cdot d - P_1 \cdot e_1. \end{aligned}$$

Obrázce složek  $N, T_z, M_y, T_y, M_z, K$  jsou vyneseny na obr. 166.



obr. 166

### Příklad 15.2

Průběh složek vnitřních sil na vodorovném nosníku podepřeném šesti kyvnými pruty podle obr. 15.5a pro zatížení:  $q_z = 2 \text{ kNm}^{-1}$ ,  $F_2 = 4 \text{ kN}$  s  $\alpha_2 = 60^\circ$  ve vswislé rovině  $xz$ ,  $q_y = 1 \text{ kNm}^{-1}$  ve vodorovné rovině  $xy$  a osamělé břemeno  $F_1 = 3 \text{ kN}$  působící ve směru osy  $y$  ve vzdálenosti  $p_1 = 0,2 \text{ m}$  od osy nosníku.

#### Řešení

Uspořádání pěti kyvných prutů na levém konci  $a$  nosníku pomocí krátké tuhé části je ekvivalentní s pětinasobnou vazbou, tj. *neposuvným válcovým kloubem s osou*  $O \equiv y$  (obr. 15.5b), který má pět složek reakcí  $R_{ax}$ ,  $R_{ay}$ ,  $R_{az}$ ,  $M_{ax}$ ,  $M_{az}$  (obr. 15.5c). Pravý konec  $b$  nosníku je podepřen vswislým kyvným prutem s reakcí  $R_{bz}$ , která zabraňuje jeho posunutí ve vswislém směru.

Při ohybu ve vswislé rovině  $xz$  působí nosník jako prostý nosník (se složkami reakcí  $R_{ax}$ ,  $R_{az}$ ,  $R_{bz}$ ), kdežto při ohybu ve vodorovné rovině  $xy$  jako konzolový nosník (se složkami reakcí  $R_{ax}$ ,  $R_{ay}$ ,  $M_{ax}$ ). Při osovém namáhání a při kroucení se uplatňuje příslušná vazba na levém konci  $a$  nosníku (s reakcí  $R_{ax}$  a  $M_{ax}$ ).

Výpočet složek reakcí vnějších vazeb provedeme ze šesti statických podmínek rovnováhy obecné prostorové soustavy sil na obr. 15.5c. Po rozkladu  $F_2$  do pravoúhlých složek

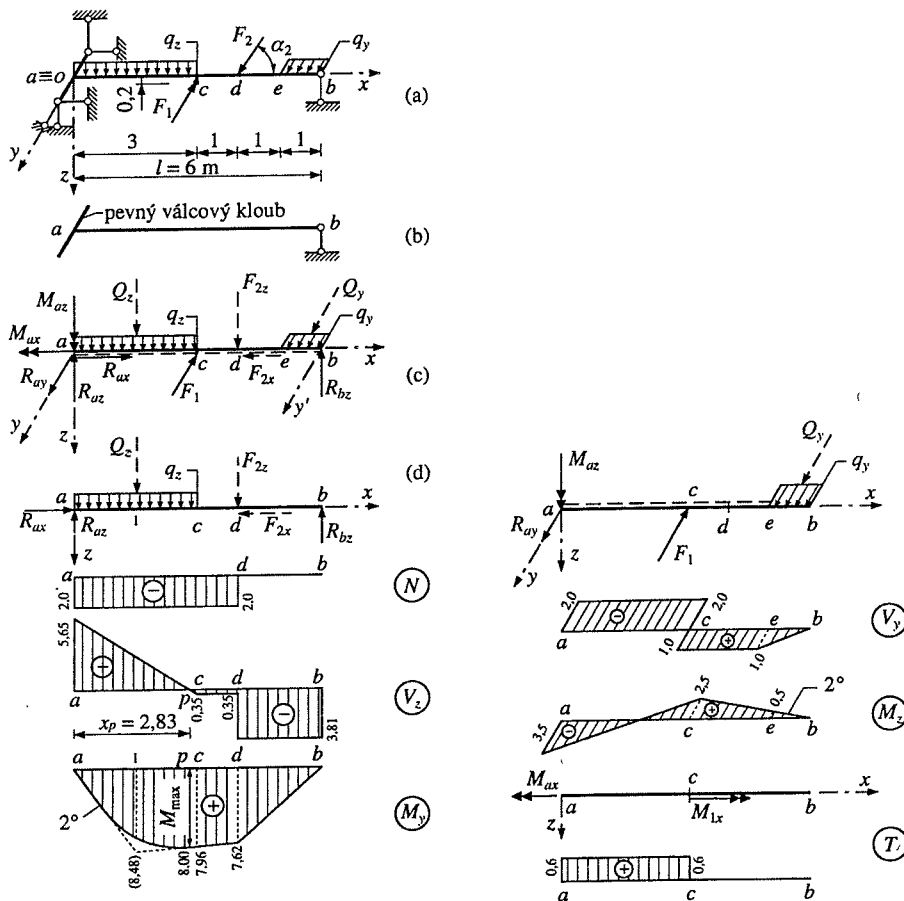
$$F_{2x} = 4 \cdot \cos 60^\circ = 2 \text{ kN}, \quad F_{2z} = 4 \cdot \sin 60^\circ = 3,46 \text{ kN}$$

a nahrazení spojitých rovnoměrných zatížení  $q_y$ ,  $q_z$  náhradními břemeny

$$Q_y = q_y \cdot 1 = 1 \text{ kN}, \quad Q_z = q_z \cdot 3 = 6 \text{ kN},$$

nabývají statické podmínky rovnováhy tvary:

- 1)  $\sum F_{ix} = 0 : R_{ax} - F_{2x} = 0 \Rightarrow R_{ax} = 2 \text{ kN}$ ,
- 2)  $\sum F_{iy} = 0 : R_{ay} + Q_y - F_1 = 0 \Rightarrow R_{ay} = 2 \text{ kN}$ ,
- 3)  $\sum M_{iy} = 0 : R_{bz} \cdot 6 - F_{2z} \cdot 4 - Q_z \cdot 1,5 = 0 \Rightarrow R_{bz} = 3,81 \text{ kN}$ ,
- 4)  $\sum M_{iz} = 0 : -R_{az} \cdot 6 + Q_z \cdot 4,5 + F_{2z} \cdot 2 = 0 \Rightarrow R_{az} = 5,65 \text{ kN}$ ,
- 5)  $\sum M_{ix} = 0 : -M_{ax} + F_1 \cdot 0,2 = 0 \Rightarrow M_{ax} = 0,6 \text{ kNm}$ ,
- 6)  $\sum M_{iz} = 0 : M_{az} + Q_y \cdot 5,5 - F_1 \cdot 3 = 0 \Rightarrow M_{az} = 3,5 \text{ kNm}$ .



Obr. 15.5. Prostorově namáhaný vodorovný nosník

Kontrola:  $\sum F_{iz} = 0 : -R_{az} - R_{bz} + Q_z + F_{2z} = 0$ .

Správné smysly složek reakcí jsou shodné se smysly předpokládanými na obr. 15.5c.

Statické schéma zatížení v rovinách  $xz$ ,  $xy$  a zkrucujícího momentového zatížení kolem osy  $x$  nosníku i s příslušnými složkami reakcí vazeb je uvedeno společně s průběhy složek vnitřních sil na prostorově namáhaném nosníku (uvádíme bez výpočtu) na obr. 15.5d.

Příklad 113

Určit průběh  $T, M, K$  na konzolovém balkonovém nosníku se střednicí lomenou v pravém úhlu, jenž je zatížen na volném konci osmělým břemenem  $P$ , viz obr. 175a.

Průběh  $T, M, K$  je vykreslen na obr. 175b.

Správnost průběhu  $T, M, K$  můžeme skontrolovat podle diferenciálních podmínek (3.6):

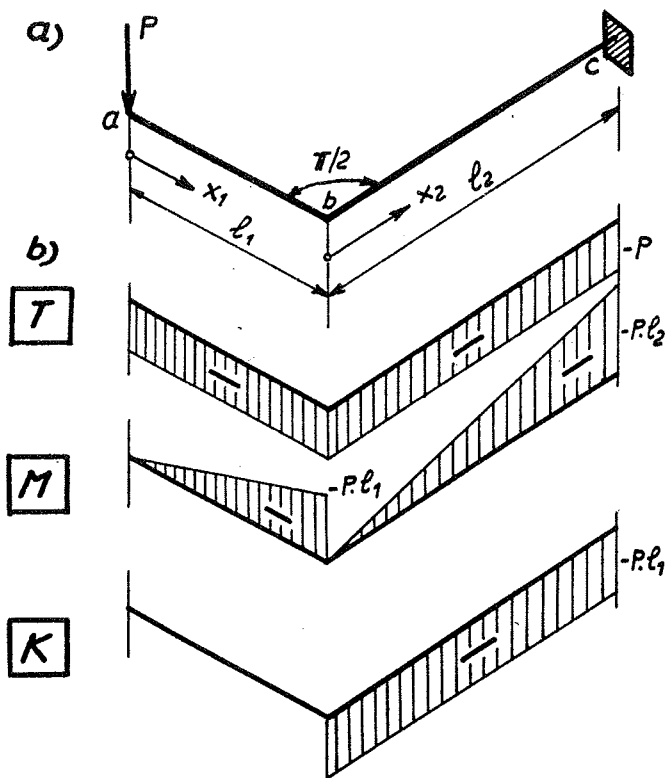
v části  $\overline{ab}$

$$\frac{dT_i}{dx_1} = \frac{d}{dx_1} (-P) = 0, \quad p(x_1) = 0$$

$$\frac{dM_i}{dx_1} = -P = T_i, \quad \frac{dK_i}{dx_1} = 0, \quad k(x_1) = 0.$$

Obdobně postupujeme v části  $\overline{bc}$ .

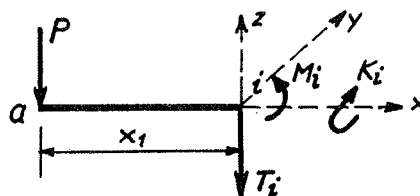
Jinou kontrolu poskytuje návaznost sil a momentů v uzlu  $c$  podle rovnic (3.7) a (3.10):

$$\overline{T}_{b1} = \overline{T}_{b2} (= -P); \quad \overline{K}_{b2} = \overline{M}_{b1} (= -P \cdot \ell_1); \quad \overline{M}_{b2} = -\overline{K}_{b1} (= 0).$$


obr. 175

Řešení :

V části  $\overline{ab}$  určíme průběh  $T, M, K$ , jako na konzole vetknuté v  $b$  do části  $\overline{bc}$ , zatížené na volném konci  $a$ , obr. 176.



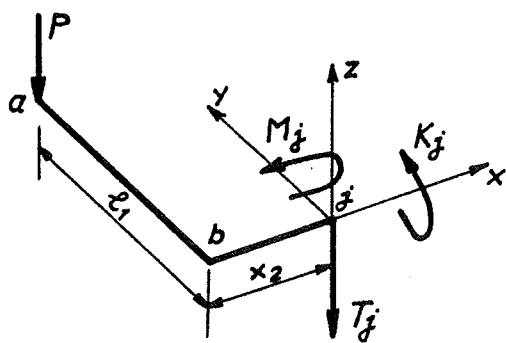
obr. 176

$$T_a = T_i = T_{b1} = -P,$$

$$M_a = 0, \quad M_i = -P \cdot x_1, \quad M_{b1} = -P \cdot \ell_1,$$

$$K_a = K_i = K_{b1} = 0.$$

v části  $\overline{bc}$  určíme hodnoty  $T, M, K$  v libovolném bodě podle obr. 177.



obr. 177

$$\sum P_z = 0:$$

$$T_{b2} = T_j = T_c = -P$$

$$\sum M_y = 0:$$

$$M_{b2} = 0, \quad P \cdot x_2 + M_j = 0 \Rightarrow$$

$$M_j = -P \cdot x_2,$$

$$M_c = -P \cdot \ell_2$$

$$\sum M_x = 0:$$

$$P \cdot \ell_1 + K_j = 0$$

$$K_{b2} = K_j = K_c = -P \cdot \ell_1$$



**Příklad 114**

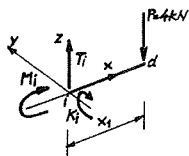
Určit průběh  $T, M, K$  na konzolovém balkonovém nosníku se střednicí dvakrát zalomenou se zatížením podle obr. 178a.

**Řešení:**

Kladný smysl oběhu podél střednice je zvolen od volného konce  $d$ .

Postupně budeme vyšetřovat části  $\overline{dc}$ ,  $\overline{cb}$ ,  $\overline{ba}$ :

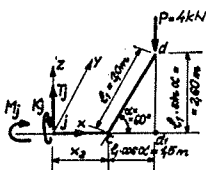
Interval  $\overline{dc}$ , viz obr. 179:



obr. 179

$$\begin{aligned} T_j - P &= 0, \\ T_d = T_j = T_c &= +P = +4 \text{ kN}; \\ M_d &= 0; \\ M_j + P \cdot x_1 &= 0 \Rightarrow \\ M_j &= -P \cdot x_1; \\ M_{c1} = -P \cdot l_1 &= -4 \cdot 3 = -12 \text{ kNm}; \\ K_d = K_j = K_{c1} &= 0. \end{aligned}$$

Interval  $\overline{cb}$ , viz obr. 180:

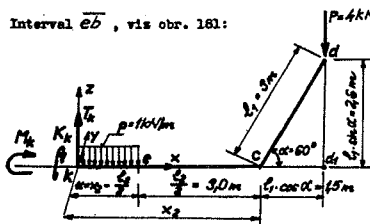


obr. 180

$$\begin{aligned} \sum P_z &= 0: \\ T_{c2} = T_j = T_c &= +4 \text{ kN} \\ \sum M_y &= 0: \\ M_j + P(l_1 \cos \alpha + x_2) &= 0, \\ M_j &= -P(l_1 \cos \alpha + x_2), \\ x_2 = 0 \rightarrow M_{c2} &= -4 \cdot 1,5 = -6,0 \text{ kNm}, \\ x_2 = \frac{l_2}{2} \rightarrow M_b &= -4(1,5+3) = -18,0 \text{ kNm}, \end{aligned}$$

$$\begin{aligned} \sum M_x &= 0: \\ K_j - P \cdot l_1 \sin \alpha &= 0, \\ K_j &= +P \cdot l_1 \sin \alpha, \\ K_{c2} = K_j = K_c &= +4 \cdot 2,6 = \\ &= +10,4 \text{ kNm} \end{aligned}$$

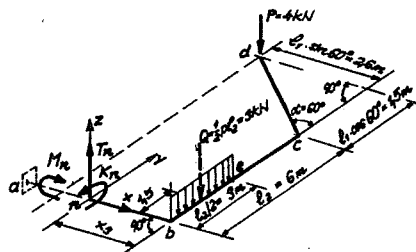
Interval  $\overline{eb}$ , viz obr. 181:



obr. 181

$$\begin{aligned} \sum M_x &= 0: K_k - P \cdot l_1 \sin \alpha = 0 \rightarrow K_k = +P \cdot l_1 \sin \alpha \\ K_e = K_k = K_{b2} &= +4 \cdot 2,6 = +10,4 \text{ kNm}. \end{aligned}$$

Interval  $\overline{ba}$ , viz obr. 182:



obr. 182

$$\begin{aligned} \sum M_x &= 0: K_{re} - P(l_1 \cos \alpha + l_2) - Q \cdot \frac{l_2}{2} = 0, \\ K_{re} &= +P(l_1 \cos \alpha + l_2) + Q \cdot \frac{l_2}{2}; K_{b3} = K_{re} = K_a = 4(1,5+6) + 9 \cdot \frac{3}{2} = 34,5 \text{ kNm}. \end{aligned}$$

Průběh  $T, M, K$  je vykreslen na obr. 178b.

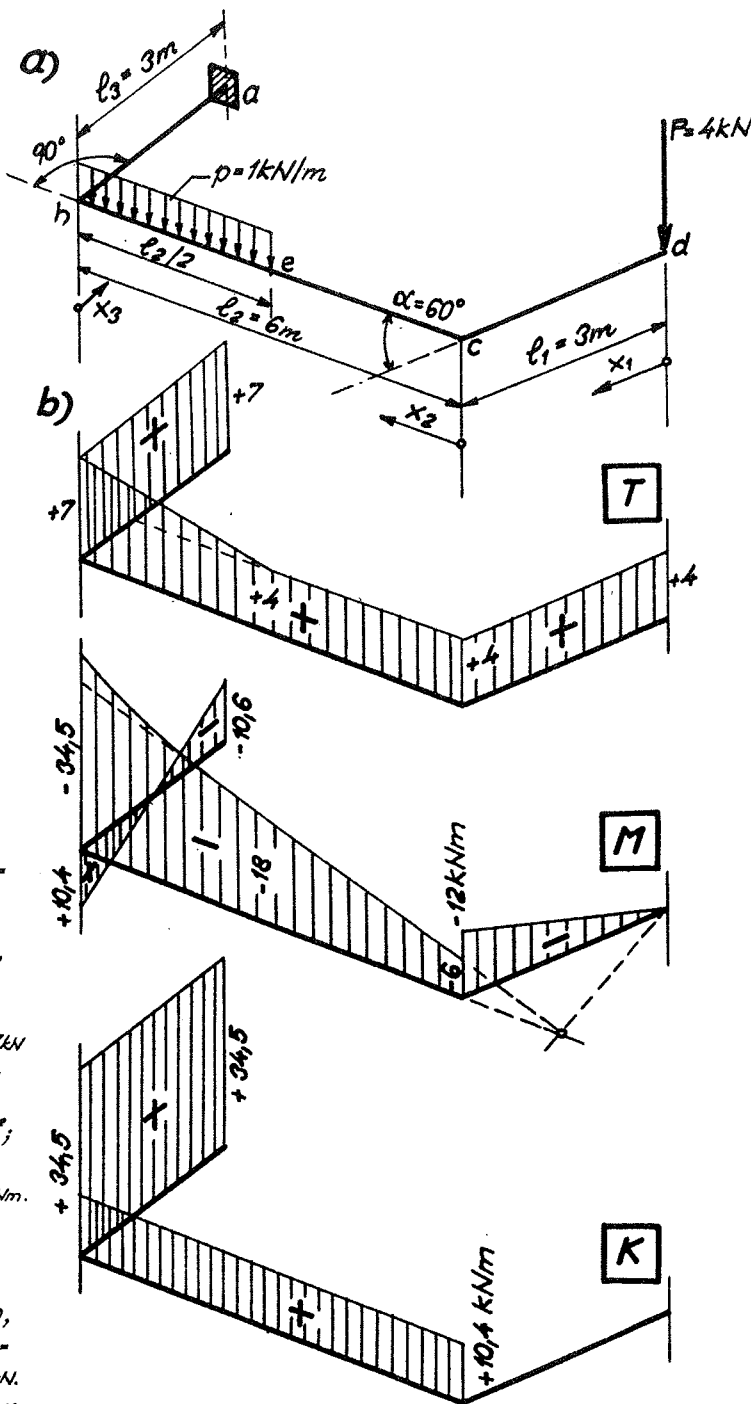
Správnost průběhu  $T, M, K$  lze kontrolovat diferenciálními rovnicemi (3.6), což se ponechává čtenáři, nebo návazností sil a momentů v uzlech  $b, c$  podle rovnic (3.7) až (3.10).

Pro uzel  $b$  platí při zvoleném kladném smyslu oběhu střednice, viz rovn. (3.9):

$$\begin{aligned} T_{b3} = T_{b2} &= +7 \text{ kN}, \quad M_{b3} = K_{b2} \Rightarrow +10,4 \text{ kNm} = +10,4 \text{ kNm}, \\ K_{b3} = -K_{b2} &\Rightarrow +34,5 \text{ kNm} = -(34,5) \text{ kNm}. \end{aligned}$$

Pro uzel  $c$  platí, viz rovn. (3.8) pro  $\alpha = 60^\circ$ :

$$\begin{aligned} T_{c2} = T_{c1} &= +4 \text{ kN}, \quad M_{c2} = M_{c1} \cos \alpha + K_{c1} \sin \alpha \Rightarrow -6,0 = -12 \cdot 0,5 + 0, \\ K_{c2} = M_{c1} \sin \alpha + K_{c1} \cos \alpha &\Rightarrow +10,4 = -(12,0 \cdot 0,866) + 0. \end{aligned}$$



obr. 178

### Příklad 15.3

Průběh složek vnitřních sil  $V$ ,  $M$ ,  $T$  na půdorysně lomeném konzolovém nosníku (obr. 15.8a,b) pro svislé zatížení  $F = 2 \text{ kN}$ ,  $q_1 = 1 \text{ kNm}^{-1}$ ,  $q_2 = 2 \text{ kNm}^{-1}$ .

#### Řešení

Vnitřní síly  $V$ ,  $M$ ,  $T$  budeme určovat postupem od volného konce  $a$ . Rovněž kladný smysl postupu podél střednice nosníku zvolíme od volného konce k vetknutí ( $a-b-c-d$ ), viz obr. 15.8a.

#### Prut $a-b$ :

Posouvající síla  $V(x_1)$ , ohybový moment  $M(x_1)$  a kroučící moment  $T(x_1)$  v libovolném průřezu  $m_1$

$$V(x_1) = -F - q_1 x_1 = -2 - x_1,$$

$$M(x_1) = -F x_1 - \frac{1}{2} q_1 x_1^2 = -2x_1 - 0,5x_1^2,$$

$$T(x_1) = 0;$$

v koncových průřezích  $a$ ,  $b$

$$V(x_1 = 0) = V_a = -2 \text{ kN},$$

$$V(x_1 = l_1) = V_b = -2 - 2 = -4 \text{ kN},$$

$$M(x_1 = 0) = M_a = 0,$$

$$M(x_1 = l_1) = M_b = -2 \cdot 2 - 0,5 \cdot 2^2 = -6 \text{ kNm}.$$

#### Prut $b-c$ :

$V(x_2)$ ,  $M(x_2)$ ,  $T(x_2)$  v libovolném průřezu  $m_2$

$$V(x_2) = -F - q_1 l_1 - \frac{1}{2} \frac{q_2}{l_2} x_2 \cdot x_2 =$$

$$= -4 - 0,25x_2^2,$$

$$M(x_2) = -F(1 + x_2) - q_1 l_1 (0,5 + x_2) -$$

$$- \frac{1}{2} \frac{q_2}{l_2} x_2 \cdot x_2 \cdot \frac{x_2}{3} = -3 - 4x_2 - \frac{1}{12} x_2^3,$$

$$T(x_2) = F \cdot 1,73 + q_1 l_1 \cdot \frac{1,73}{2} = 5,20 \text{ kNm};$$

v koncových průřezích  $b$ ,  $c$

$$V_b = -4 \text{ kN}, \quad V_c = -4 - 0,25 \cdot 4^2 = -8 \text{ kN}, \quad M_b = -3 \text{ kNm},$$

$$M_c = -3 - 4 \cdot 4 - \frac{1}{12} \cdot 4^3 = -24,33 \text{ kNm}, \quad T_b = T_c = 5,20 \text{ kNm}.$$

#### Prut $c-d$ :

$V(x_3)$ ,  $M(x_3)$ ,  $T(x_3)$  v libovolném průřezu  $m_3$

$$V(x_3) = -F - q_1 l_1 - \frac{1}{2} q_2 l_2 = -8 \text{ kN},$$

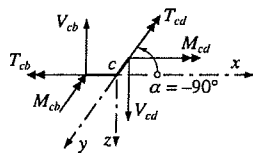
$$M(x_3) = F(1,73 - x_3) + q_1 l_1 (0,5 \cdot 1,73 - x_3) - \frac{1}{2} q_2 l_2 x_3 = 5,20 - 8x_3,$$

$$T(x_3) = F(1 + l_2) + q_1 l_1 (0,5 + l_2) + \frac{1}{2} q_2 l_2 \cdot \frac{1}{3} l_2 = 24,33 \text{ kNm};$$

v koncových průřezích  $c$ ,  $d$

$$V_c = V_d = -8 \text{ kN}, \quad M_c = 5,20 \text{ kNm}, \quad M_d = 5,20 - 8 \cdot 3 = -18,80 \text{ kNm},$$

$$T_c = T_d = 24,33 \text{ kNm}.$$



Obr. 15.9. Uvolněný uzel  $c$

$$\sum F_{iz} = 0 : -V_{cb} + V_{cd} = 0,$$

$$\sum M_{ix} = 0 : -T_{cb} + M_{cd} = 0,$$

$$\sum M_{iy} = 0 : -M_{cb} - T_{cd} = 0$$

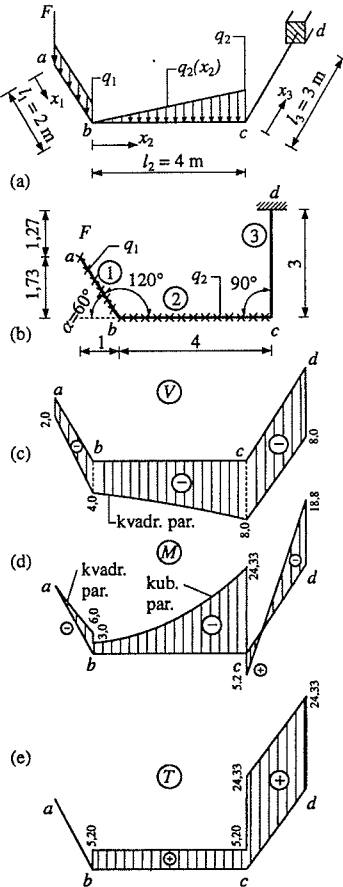
vztahy

$$V_{cd} = V_{cb}, \quad M_{cd} = T_{cb}, \quad T_{cd} = -M_{cb}$$

shodné s výrazy (15.13) při zalomení prutu doleva o  $\alpha = -90^\circ$ . Dosazením příslušných hodnot z obr. 15.8c,d,e je ověřena správnost řešení.

Z výše uvedeného vyplývá, že

- při přechodu přes zalomení nosníku zachovává posouvající síla  $V$  svou velikost včetně znaménka, nepůsobí-li v místě lomu svislé osamělé břemeno,
- ohybový moment  $M$  a kroučící moment  $T$  probíhají přes zalomení prutu nespojitě a vzájemně se doplňují.



Obr. 15.8. Konzolový lomený balkonový nosník

Příklad 125

Určit průběh vnitřních sil na prostorově lomeném konzolovém prutu, jenž je na volném konci zatížen silou  $P$  podle obr. 201a, část  $ab$  je svislá, část  $bcd$  je vodorovná, síla  $P$  je svislá.

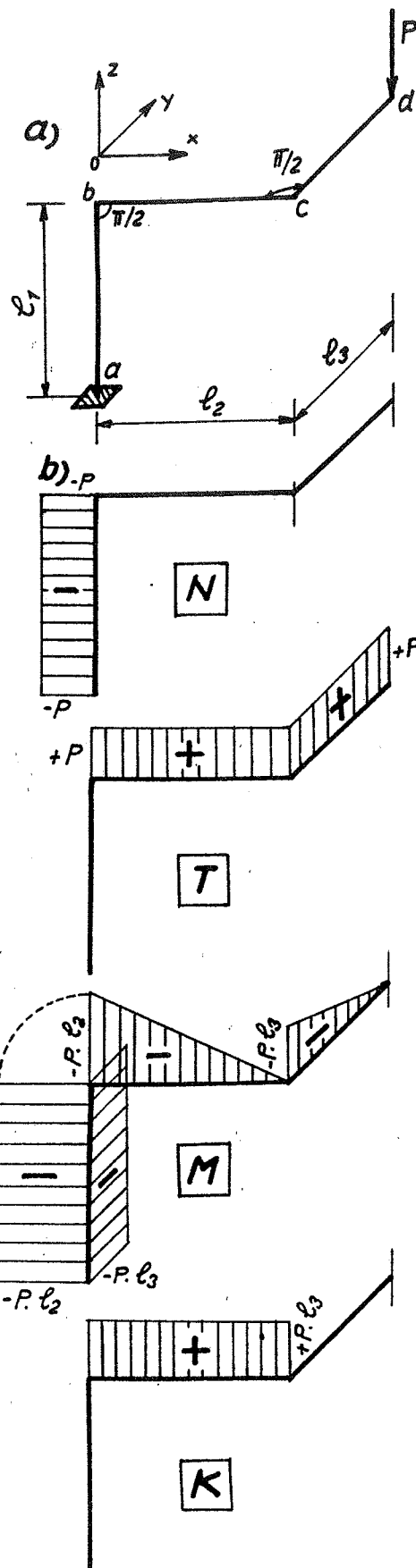
Řešení:

Z podmínky rovnováhy ve směru osy  $Z$  plyne, že normální síla  $N$  vznikne jen v prutu  $ab$ ,  $N = -P$  konstantní po celé délce prutu. Budeme-li uvažovat část  $bcd$  jako balkonový nosník vetknutý v  $b$ , pak posouvající síly v části  $cd$ ,  $bc$  jsou stejné,  $T = +P$ , a ohybové momenty jsou:  $M_{d3} = 0$ ,  $M_{c3} = -P \cdot \ell_3$ ,  $M_{c2} = 0$ ,  $M_{b2} = -P \cdot \ell_2$ ; kroučící moment vznikne v prutu  $bc$ ,  $K = +P \cdot \ell_3$  [ $K = -(-P \cdot \ell_3)$ ] podle (3.9) pro zalomení doprava. Část nosníku  $abc$  lze v dalším považovat za lomenou konzolu v rovině  $xz$ , vetknutou v  $a$ , pro niž platí v její rovině rovnost ohybových momentů v uzlu  $b$ ,  $M_{b1} = M_{b2} = -P \cdot \ell_2$ , v prutech k sobě kolmých,  $ab \perp bc$ , mění se v uzlu  $b$  normální síla v posouvající a naopak.

Část  $abc$  lze však považovat i za balkonový nosník vetknutý v  $a$ , zatížený příčným, kroučícím momentem  $K$  v části  $bc$ , pak platí pro zalomení doleva podle (3.10):

$$M'_{b1} = -K = -P \ell_3$$

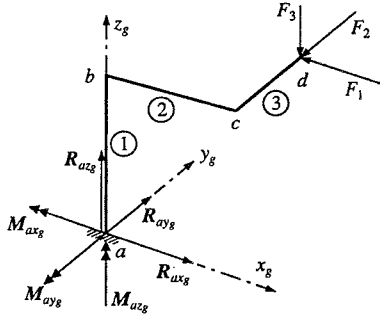
Průběh  $N$ ,  $T$ ,  $M$ ,  $K$  je znázorněn na obr. 201b.



obr. 201

### Příklad 15.5

Stanovte průběh složek vnitřních sil na prostorově lomeném konzolovém nosníku, sestávajícím ze tří přímých částí délek  $l_1 = 5$  m,  $l_2 = 4$  m,  $l_3 = 3$  m navzájem spojených monoliticky pod pravými úhly, pro zatížení osamělými břemeny  $F_1 = 10$  kN,  $F_2 = F_3 = 20$  kN (obr. 15.11a).



Obr. 15.11a. Prostorově lomený konzolový nosník

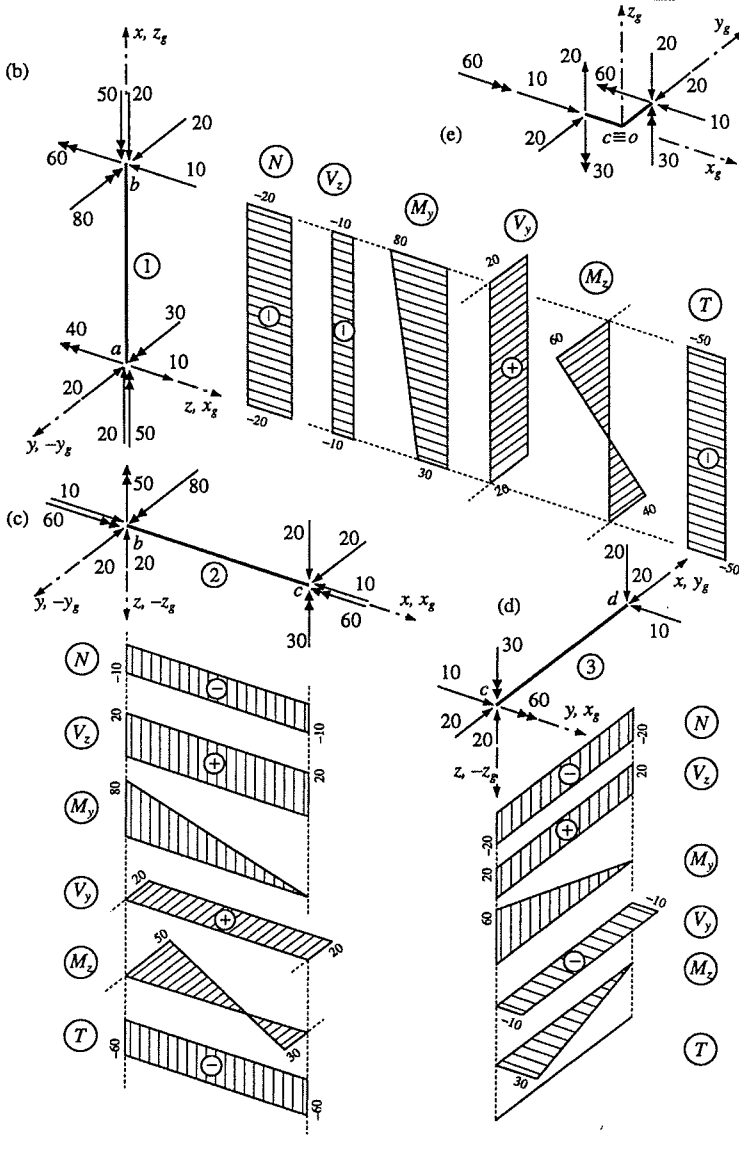
### Řešení

Složky reakcí dokonalého vetknutí  $a$  lomeného konzolového nosníku (obr. 15.11a) stanovíme ze šesti statických podmínek rovnováhy (3.58) o velikostech:

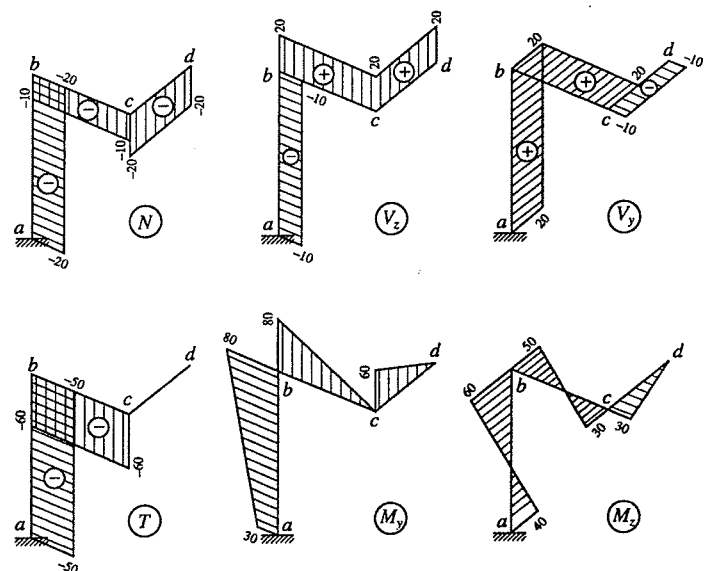
$$\begin{aligned} R_{ax_g} &= F_1 = 10 \text{ kN}, \\ R_{ay_g} &= F_2 = 20 \text{ kN}, \\ R_{az_g} &= F_3 = 20 \text{ kN}, \\ M_{ax_g} &= F_2 l_1 - F_3 l_3 = 40 \text{ kNm}, \\ M_{ay_g} &= -F_1 l_1 + F_3 l_2 = 30 \text{ kNm}, \\ M_{az_g} &= -F_1 l_3 + F_2 l_2 = 50 \text{ kNm}. \end{aligned}$$

Jejich správné smysly ve vektorovém zobrazení jsou shodné s předpokládanými smysly na obr. 15.11a. Koncové síly a momenty na jednotlivých prutech 1  $\equiv ab$ , 2  $\equiv bc$ , 3  $\equiv cd$  nosníku jsou i s daným zatížením a průběhy složek vnitřních sil nakresleny na obr. 15.11b–d. Výsledné obrazce šesti složek vnitřních sil  $N$ ,  $V_y$ ,  $V_z$ ,  $T$ ,  $M_y$ ,  $M_z$  na celém lomeném nosníku jsou zobrazeny v axonometrickém pohledu na obr. 15.11f. Jsou získány spojením odpovídajících průběhů složek vnitřních sil na jednotlivých prutech 1, 2, 3 vztažených k jejich lokálním souřadnicovým soustavám. Ověření rovnováhy jednoho uzlu nosníku, např.  $c$ , je provedeno na obr. 15.11e.

Výpočet složek vnitřních sil na prostorově lomeném konzolovém nosníku je možné rovněž provádět postupem od volného konce  $d$  nosníku směrem k dokonalému vetknutí  $a$ . V takovém případě nemusíme předem určovat složky reakcí dokonalého vetknutí nosníku.



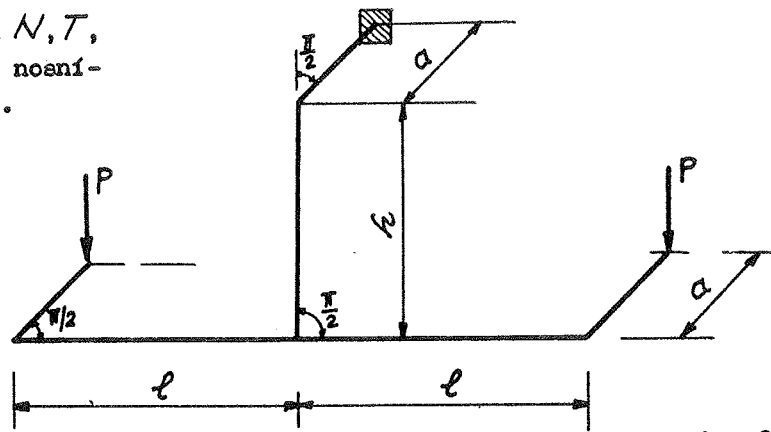
Obr. 15.11b–e. Průběhy složek vnitřních sil na jednotlivých prutech nosníku v lokálních souřadnicových soustavách



Obr. 15.11f. Výsledné průběhy složek vnitřních sil na nosníku

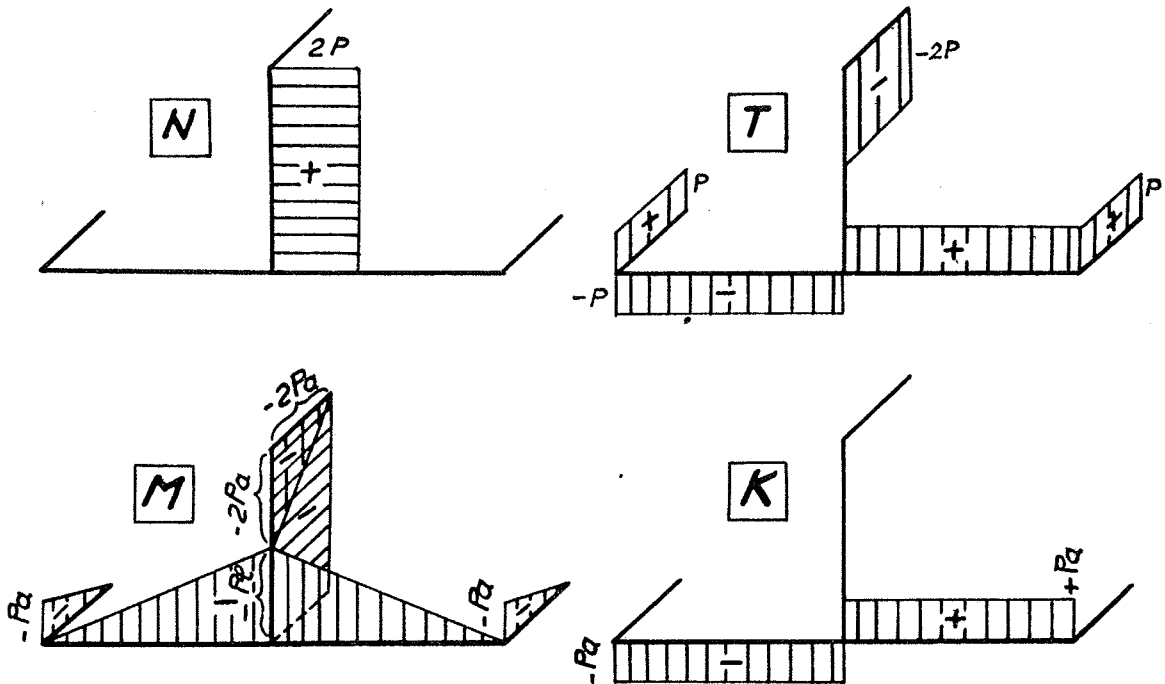
Příklad 127

Určit průběh  $N, T, M, K$  na lomeném nosníku podle obr. 204.



obr. 204

Průběh  $N, T, M, K$  je vyznačen na obr. 375.



obr. 375

### Příklad 15.6

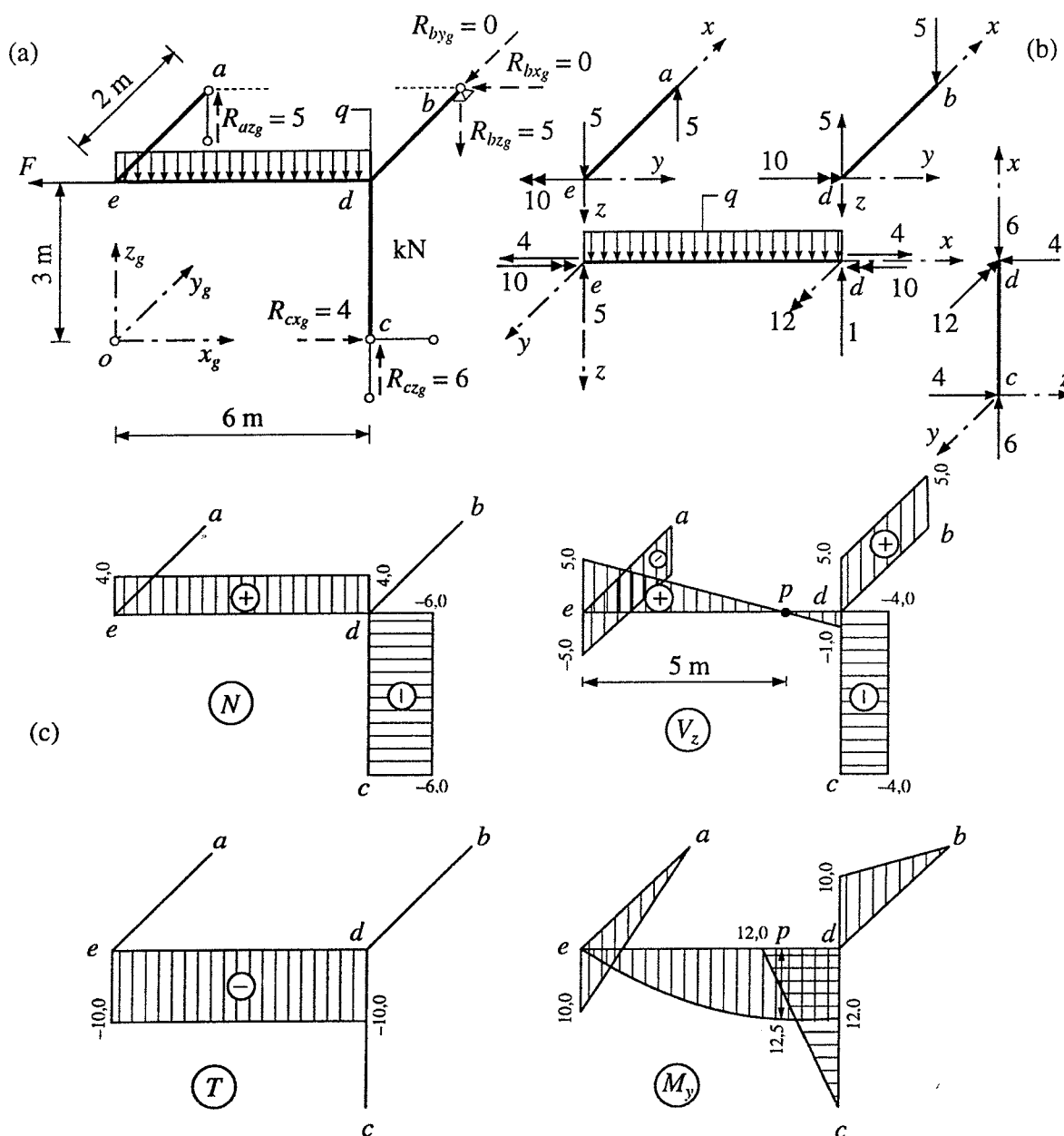
Průběh složek vnitřních sil na prostorově lomeném nosníku podepřeném třemi kyvnými pruty a pevným kulovým kloubem pro zatížení  $F = 4 \text{ kN}$ ,  $q = 1 \text{ kNm}^{-1}$  (obr. 15.12a).

Řešení

Složky reakcí vnějších vazeb (obr. 15.12a) ze statických podmínek rovnováhy (3.58):

$$R_{az_g} = 5 \text{ kN}, \quad R_{bx_g} = R_{by_g} = 0, \quad R_{bz_g} = 5 \text{ kN}, \quad R_{cx_g} = 4 \text{ kN}, \quad R_{cz_g} = 6 \text{ kN}.$$

Koncové síly a momenty i s daným zatížením na jednotlivých prutech nosníku jsou uvedeny na obr. 15.12b. Výsledné průběhy složek vnitřních sil na prostorově lomeném nosníku vzhledem k lokálním souřadnicovým soustavám jednotlivých prutů jsou nakresleny na obr. 15.12c.



Obr. 15.12. Prostorově lomený nosník z příkladu 15.6

**Příklad 115**

Určit průběh  $T, M, K$  na balkonové nosnici s loženou střednicí, jenž je podepřen kluzně ve třech bodech a zatížen podle obr. 183.

**Řešení :**

V kluzných podporách  $a, b, c$  určíme podporové reakce  $A, B, C$  s podmínkou rovnováhy, např.: momentových k osám  $ab, ad, bf$ :

$$\begin{aligned} \sum M_{ab} &= 0, C \cdot 4 - 8(1+2) = 0 \Rightarrow C = 6 \text{ kN}, \\ \sum M_{ad} &= 0, B + C \cdot 2 - 8 \cdot 1 = 0 \Rightarrow B = -1 \text{ kN}, \\ \sum M_{bf} &= 0, -A \cdot 4 - C \cdot 2 + 8(4+3) = 0 \Rightarrow A = 11 \text{ kN}, \\ \sum P_z &= 0, A + B + C = 16 \text{ kN}. \end{aligned}$$

Smysl postupu podél střednice zvolíme podle obr. 183, t.j.  $a-d-e-f-b, e-c$ , souřadnice  $x_1, x_2, \dots, x_5$  a veličiny  $T, M, K$  označíme v jednotlivých úsecích indexy  $1, 2, \dots, 5$ .

$T, M, K$  určíme v kterákoli průřezu podle obr. 184a s podmínkou rovnováhy. Tak např. pro průřez  $i$  v desce  $ef$ :

$$\begin{aligned} \sum P_z &= 0: A - q(\ell_1 + \ell_2) + C - T_{i3} = 0 \\ T_{i3} &= A + C - q \cdot (\ell_1 + \ell_2) \\ T_{e3} = T_{i3} = T_{f3} &= 11 + 6 - 4(2+2) = 1 \text{ kN} \\ \sum M_y &= 0: M_{i3} - A(\ell_1 + x_3) - C \cdot x_3 + q\ell_1(\frac{\ell_1}{2} + x_3) + q\ell_2(\frac{\ell_2}{2} + x_3) = 0 \\ M_{i3} &= A(\ell_1 + x_3) + C \cdot x_3 - q\ell_1(\frac{\ell_1}{2} + x_3) - q\ell_2(\frac{\ell_2}{2} + x_3) \end{aligned}$$

$$\begin{aligned} x_3 = 0, M_{e3} &= 11 \cdot 2 + 6 \cdot 0 - 4 \cdot 2(2+0) - 4 \cdot 2(\frac{2}{2} + 0) = -2 \text{ kNm}, \\ x_3 = \ell_2, M_{f3} &= 11(2+2) + 6 \cdot 2 - 4 \cdot 2(2+2) - 4 \cdot 2(\frac{2}{2} + 2) = 0 \text{ kNm}. \end{aligned}$$

$$\begin{aligned} \sum M_x &= 0: K_{i3} - A \cdot \ell_1 + C \cdot \ell_2 + q\ell_1 \cdot \frac{\ell_1}{2} = 0 \\ K_{i3} &= A \cdot \ell_1 - C \cdot \ell_2 - q \frac{\ell_1^2}{2}, \end{aligned}$$

$$\begin{aligned} x_3 = 0, K_{e3} &= 11 \cdot 2 - 6 \cdot 2 - 4 \cdot \frac{2^2}{2} = +2 \text{ kNm}, \\ K_{f3} &= K_{e3}. \end{aligned}$$

Interval  $\overline{ad}$ :

$$\begin{aligned} T_{11} &= A - q \cdot x_1, T_{d1} = +11 \text{ kN}, T_{d1} = +3 \text{ kN}, \\ M_{11} &= A \cdot x_1 - q \frac{x_1^2}{2}, M_{a1} = 0, M_{d1} = +14 \text{ kNm}, \\ K_{a1} &= K_{11} = K_{d1} = 0. \end{aligned}$$

Interval  $\overline{de}$ :

$$\begin{aligned} T_{12} &= A - q(\ell_1 + x_2), T_{d2} = +3 \text{ kN}, T_{e2} = -5 \text{ kN}, \\ M_{12} &= A \cdot x_2 - q\ell_1 x_2 - q \frac{x_2^2}{2}, M_{d2} = 0, M_{e2} = -2 \text{ kNm}, \\ K_{12} &= A \cdot \ell_1 - q \frac{\ell_1^2}{2}, K_{d2} = K_{12} = K_{e2} = +14 \text{ kNm}. \end{aligned}$$

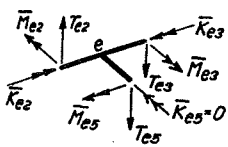
Interval  $\overline{fb}$ :

$$\begin{aligned} T_{14} &= A + C - q(\ell_1 + \ell_2), T_{f4} = T_{14} = T_{b4} = +1 \text{ kN}, \\ M_{14} &= A(\ell_1 + x_4) + C(\ell_2 + x_4) - q\ell_1 x_4 + q\ell_1(\frac{\ell_1}{2} + x_4), M_{f4} = -2 \text{ kNm}, M_{b4} = 0, \\ K_{14} &= A(\ell_1 + \ell_2) - q\ell_1(\ell_1 + \ell_2) - q\ell_2(\frac{\ell_2}{2} + \ell_1) + C \cdot \ell_2, K_{f4} = K_{14} = K_{b4} = 0. \end{aligned}$$

Interval  $\overline{ec}$ :

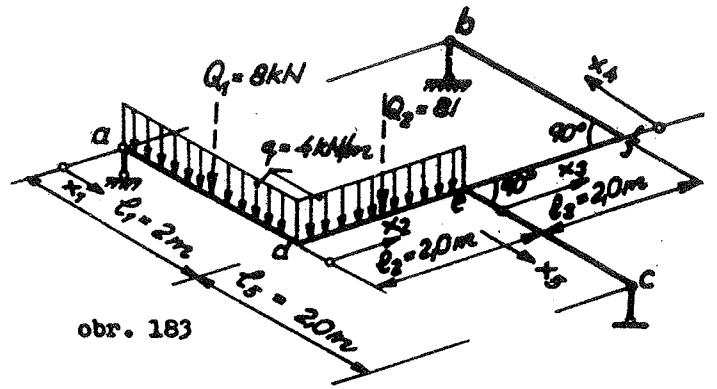
$$\begin{aligned} T_{15} &= -C, T_{e5} = T_{15} = T_{c5} = -6 \text{ kN}, \\ M_{15} &= C(\ell_2 - x_5), M_{e5} = +12 \text{ kNm}, M_{c5} = 0, \\ K_{15} &= -A \cdot \ell_2 + q\ell_1 \ell_2 + q \frac{\ell_2^2}{2} + B \ell_2, K_5 = 0. \end{aligned}$$

Průběh  $T, M, K$  je vykreslen na obr. 184b.

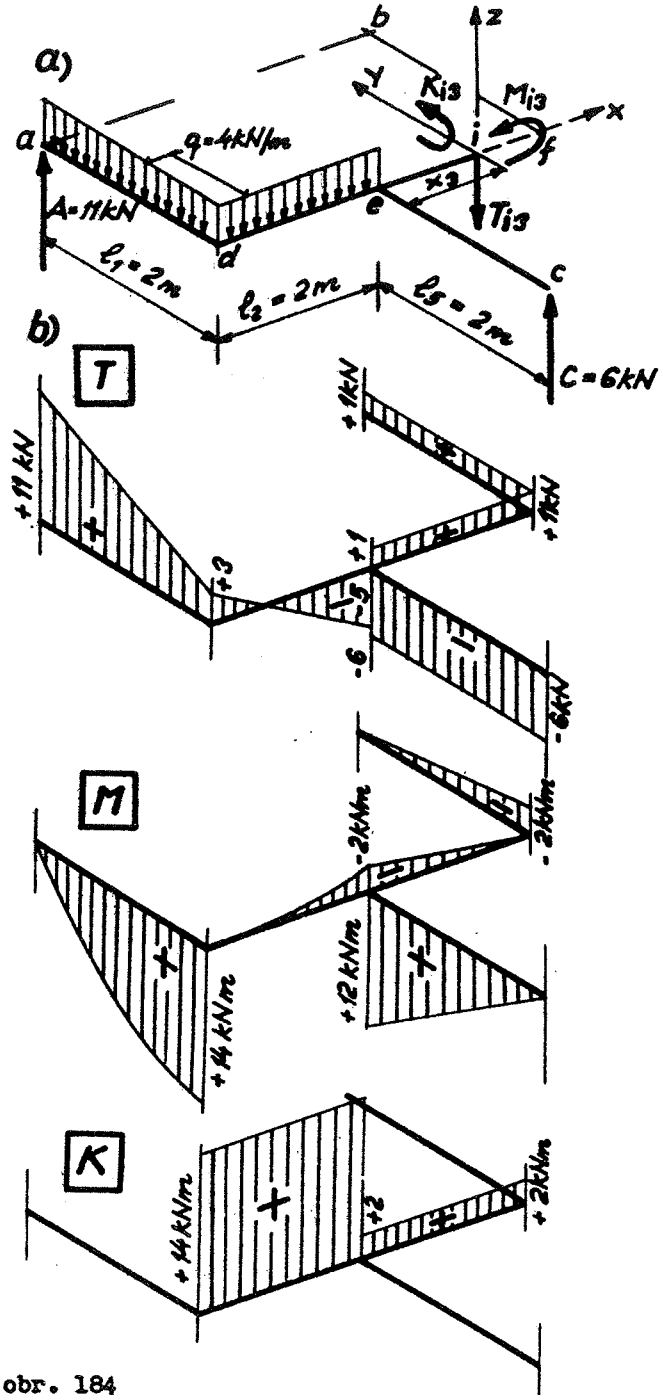


obr. 185

$$\begin{aligned} T_{e2} - T_{e3} - T_{e5} &= 0, \text{ t. zv.} \\ T_{e5} &= T_{e2} - T_{e3}, \text{ t. j. } -6 = -5 - (+1), \\ M_{e2} - M_{e3} + K_{e5} &= 0, \text{ t. zv.} \\ M_{e3} &= M_{e2}, \text{ t. j. } -2 = -2, \\ K_{e2} - K_{e3} - M_{e5} &= 0, \text{ t. zv.} \\ M_{e5} &= K_{e2} - K_{e3}, \text{ t. j. } +12 = +14 - 2. \end{aligned}$$



obr. 183

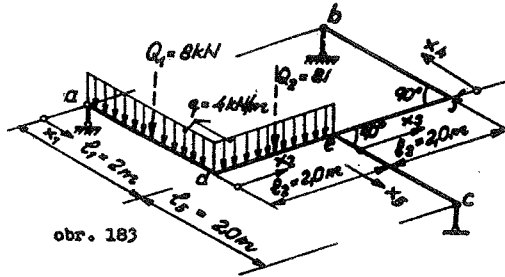


obr. 184

Čtenáři se doporučuje zkontrolovat výsledky diferenciálními podmínkami (3.6) nebo prověřit rovnováhu jednotlivých uzlů podle (3.7) až (3.10). Tak např. pro uzel  $e$  plyne, viz obr. 185.

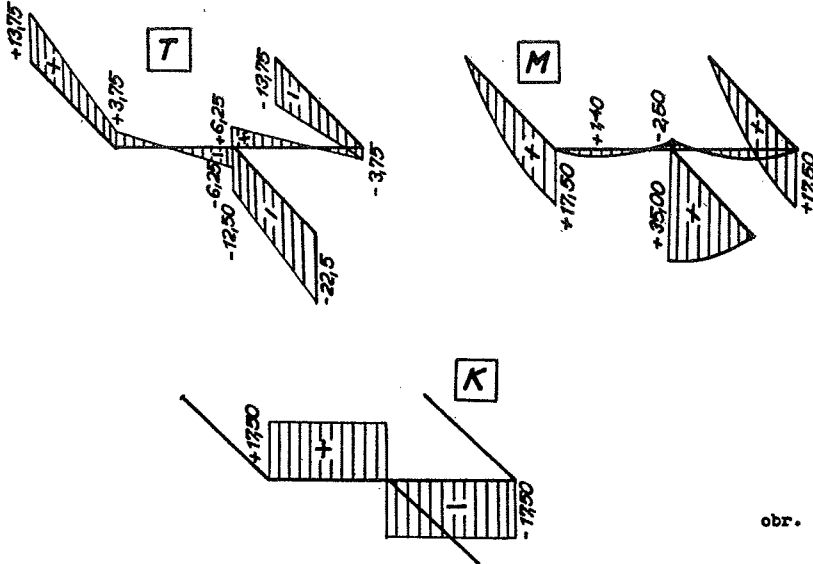
Příklad 121

Vyšetřete průběh  $T, M, K$  na balkonovém nosníku podle obr. 183, působí-li plné rovnoměrné zatížení  $q = 5 \text{ kN/m}$  podél všech úseků nosníku [5].



obr. 183

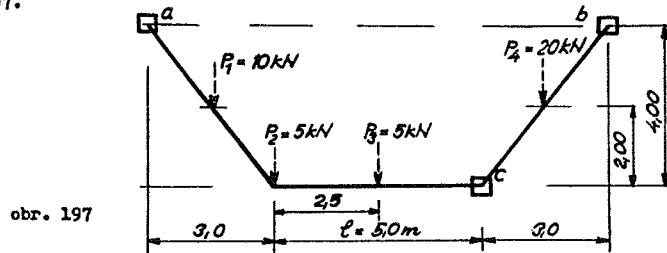
Reakce  $A = +13,75 \text{ kN}$ ,  $B = 13,75 \text{ kN}$ ,  $C = 22,50 \text{ kN}$ . Průběh  $T, M, K$  je vyznačen na obr. 371.



obr. 371

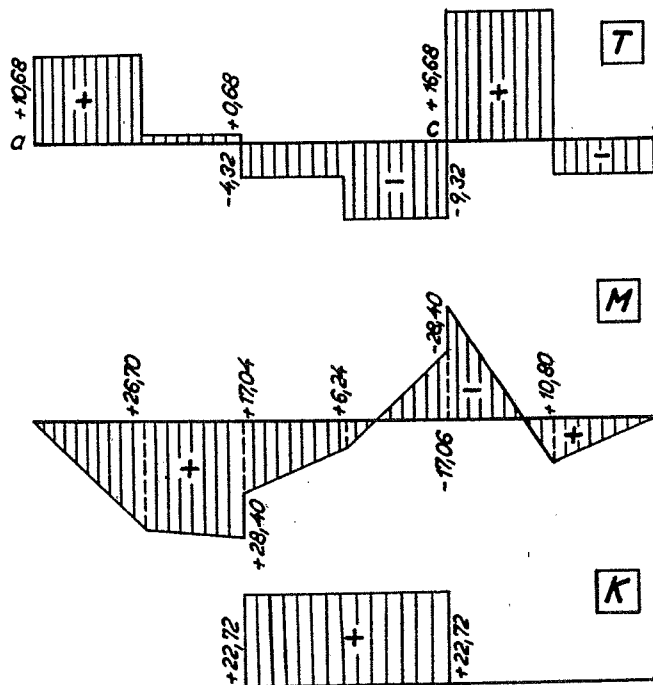
Příklad 122

Určete reakce a průběh  $T, M, K$  na balkonovém nosníku podepřeného a zatíženého podle obr. 197.



obr. 197

Reakce  $A = +10,68 \text{ kN}$ ,  $B = +4,32 \text{ kN}$ ,  $C = 25,00 \text{ kN}$ . Průběh  $T, M, K$  je znázorněn na obr. 372.

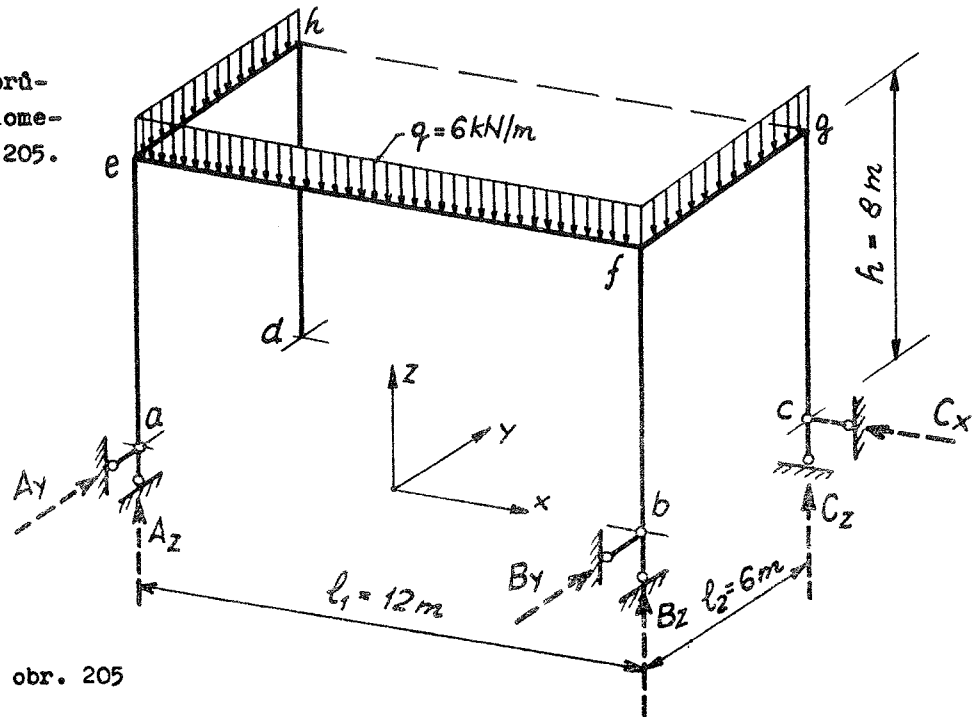


obr. 372



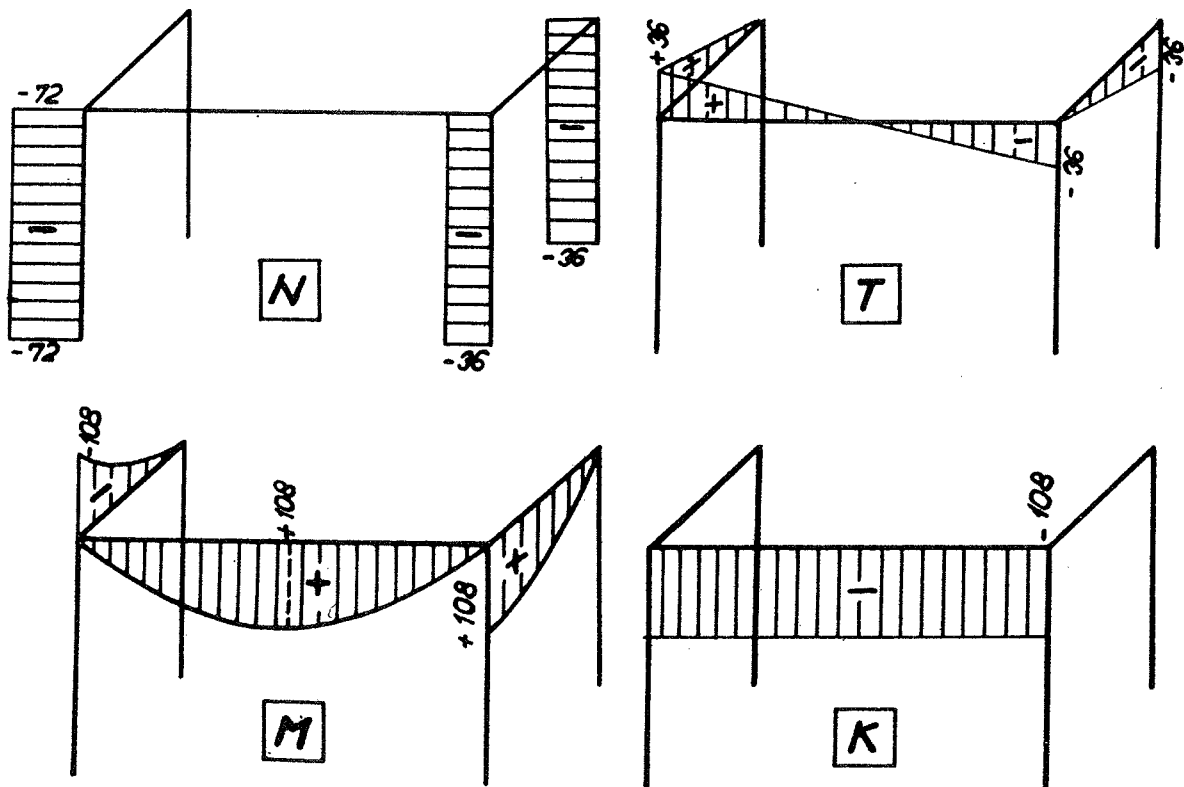
Příklad 128

Určit reakce a průběh  $N, T, M, K$  na lomeném prutu podle obr. 205.



obr. 205

Reakce jsou  $A_y = B_y = C_x = 0$ ;  $A_z = 72\text{ kN}$ ,  $B_z = 36\text{ kN}$ ,  $C_z = 36\text{ kN}$ .  
Průběh  $N, T, M, K$  je vyznačen na obr. 376.



obr. 376